

# СОМАТИЧЕСКИЕ ПРОБЛЕМЫ ВИЧ-МЕДИЦИНЫ: СПИД-АССОЦИИРОВАННЫЕ ЛИМФОМЫ

**А.В. Пивник<sup>1</sup>, Ю.Г. Пархоменко<sup>2</sup>, Ю.А. Криволапов<sup>3</sup>, О.А. Тишкевич<sup>2</sup>, В.Г. Коровушкин<sup>2</sup>,  
А.М. Ковригина<sup>4</sup>, М.Б. Груздев<sup>2</sup>, Л.Д. Гриншпун<sup>5</sup>, И.А. Бердышева<sup>5</sup>, Н.В. Серегин<sup>5</sup>,  
А.О. Туаева<sup>5</sup>, Е.Б. Ликунов<sup>6</sup>, Д.В. Бойко<sup>7</sup>**

<sup>1</sup>Национальный медико-хирургический центр им. Н.И. Пирогова, Москва; <sup>2</sup>Клиническая инфекционная больница №2, Москва; <sup>3</sup>ЛОРБ, Санкт-Петербург; <sup>4</sup>РОНЦ им. Н.Н. Блохина РАМН, Москва; <sup>5</sup>Городская клиническая больница №60, Москва; <sup>6</sup>ФНКЦ ДГОИ Росздрава, Москва; <sup>7</sup>Медицинская академия, Челябинск

Мы наблюдали 66 больных СПИД-ассоциированными лимфомами: 48 больных агрессивными лимфомами (мужчин 35, женщин 13, соотношение М:Ж 2,6:1; средний возраст 32,5±1,2 года) и 18 больных лимфомой Ходжкина (мужчин 14, женщин 4, соотношение М:Ж 4,5:1; средний возраст 34,1±2,3 года). Основной путь заражения 85% больных – внутривенное введение психотропных средств, 15% – половой. Коинфекция ВИЧ и гепатитов: 60% пациентов с гепатитом С, 25% – с гепатитами В и С. Время от инфицирования ВИЧ до развития лимфомы составило в среднем 5 лет (от 2 до 16 лет). Часть больных получали высокоактивную антиретровирусную терапию. Исходный уровень лимфоцитов CD4 225 клеток/мкл (50–500 клеток/мкл), вирусная нагрузка – 38 тыс. копий РНК в 1 мкл (400–75 тыс. копий/мкл). Гистологические варианты лимфом: диффузная крупноклеточная лимфома – 60%, лимфома Беркита – 16%, фолликулярная лимфома – 12%, MALT-лимфома – 6%, Т-клеточные лимфомы – 4%, первичная лимфома ЦНС – 2%.

CHOP и CHOP-подобные курсы получали 26 больных. 3-летняя общая выживаемость составила 52%, безрецидивная выживаемость – 32%. Блоковая терапия по протоколу NHL-BFM-90 и по модифицированной программе LB-04-Москва в сочетании с мабтерой или без получали 12 больных. 3-летняя общая выживаемость – 48%, безрецидивная – 38%. После лечения средний уровень лимфоцитов CD4 составил 316 клеток/мкл (60–700 клеток/мкл), вирусная нагрузка – 3 тыс. копий РНК в 1 мкл (400–25 тыс. копий/мкл).

75% больных лимфомой Ходжкина обратились с III–IV стадиями заболевания. Исходный уровень лимфоцитов CD4 – 363 клетки/мкл (50–730 клеток/мкл), вирусная нагрузка – 100 тыс. копий РНК в 1 мкл (14–150 тыс. копий/мкл). Гистологические варианты лимфомы Ходжкина: смешанно-клеточный – 14 больных, лимфоидное истощение – 3, нодулярный склероз – 1. Лечение проводилось 11 пациентам: ABVD±лучевая терапия – 8, BEACOPP-усиленный с последующей лучевой терапией – 3. Полные ремиссии более трех лет достигнуты у двух больных, остальные пациенты продолжают лечение. После терапии средний уровень лимфоцитов CD4 составил 400 клеток/мкл (184–900 клеток/мкл), вирусная нагрузка – 100 тыс. копий РНК в 1 мкл (400–435 тыс. копий/мкл).

Использование современных схем лечения больных СПИД-ассоциированными лимфомами приводит к полным ремиссиям, сопоставимым по результатам, полученным у не инфицированных ВИЧ пациентов.

**Ключевые слова:** СПИД-ассоциированные лимфомы в России, диагностика и лечение

## SOMATIC PROBLEMS OF HIV-MEDICINE: AIDS-RELATED LYMPHOMAS

**A.V Pivnik<sup>1</sup>, Y.G Parhomenko<sup>2</sup>, Y.A. Krivolapov<sup>3</sup>, O.A. Tishkevich<sup>2</sup>, V.G. Korovushkin<sup>2</sup>, A.M. Kovrigina<sup>4</sup>, M.B. Grusdev<sup>2</sup>, L.D. Grinshpun<sup>5</sup>, I.A. Berdisheva<sup>5</sup>, N.V. Seregin<sup>5</sup>, A.O. Tuueva<sup>5</sup>, E.B. Likunov<sup>6</sup>, D.V. Boyko<sup>7</sup>**

<sup>1</sup>N.I. Pirogov's National Medico-Surgical Center, Clinic and Chair of hematology, Moscow; <sup>2</sup>Infectious City Hospital № 2, Moscow; <sup>3</sup>Leningrad Regional Pathology Bureau, St. Petersburg; <sup>4</sup>N.N. Blokhin's Cancer Research Center, Moscow; <sup>5</sup>Clinical City Hospital № 60, Moscow; <sup>6</sup>Federal Research Center of pediatric hematology, oncology and immunology, Moscow; <sup>7</sup>Medical Academy, Cheliabinsk

We followed 66 lymphoma -AIDS patients (pts): aggressive lymphomas were diagnosed in 48 pts (male – 35, female – 13, median age 32.5±1.2) and Hodgkin's lymphoma was established in 18 pts (male – 14, female – 4, median age 34.1±2.3). Median duration time from HIV exposure to the onset of lymphomas was 5 years (2–16 years). A part of pts was receiving HAART. 85 % of pts were drug users and association with HCV was shown in 60 % of them, with HCV and HBV- in 25 %. Sexual transmission was mentioned in 15 % of pts. «Immune status»: CD4 counts were from 50 to 500 (median 225) cells in mcL. Viral load was from 400 to 75000 (median 38000) copies in mcL. Histological diagnosis: diffuse large cell lymphomas – 60%, Burkitt lymphoma – 16%, follicular lymphoma – 12%, MALT-lymphomas-6%, T- cell lymphoma – 4%, primary CNS lymphoma – 2%.

CHOP and CHOP-like courses had received 26 pts. Results: 3-year overall survival – 52%, 3-year disease free survival – 32%. Block therapy A-B-C of BFM – NHL – 90 and LB-M-04 with and without Mabthera had received 12 pts. Results: 3-year overall survival – 48%, 3-year disease free survival – 38%. After treatment CD4 count was 60 – 700 (median 316) cells in mcL, viral load 400 to 25000 (median 3000) copies in mcL.

75% of Hodgkin's lymphoma patients had III–IV stages of disease. Initial immune status: CD4 counts from 50 to 730 (median 363) cells in mcL, viral load – from 14000 to 150 000 (median 100 000) copies in mcL. Histological variants: mixed cellularity – 14 pts, lymphoid depletion – 3 pts, nodular sclerosis – 1 pt. Chemotherapy had received 11 pts: ABVD with or without radiotherapy – 8 pts, BEACOPP-escalated with or without radiotherapy – 3 pts. Complete 3-year remissions were achieved in 2 pts. Other pts are on therapy. After treatment CD4 counts were 184 – 900 (median 400) cells in mcL, viral load – 435000 (median 100 000) copies in mcL.

Modern treatment approaches in lymphoma -AIDS pts can lead to complete remission, as well as in general non-HIV positive population.

**Key words:** AIDS-lymphomas in Russia, diagnosis and treatment

### История ВИЧ/СПИД

Зимой 1981 г. в госпиталь Нью-Йоркского университета поступили несколько мужчин с редким заболеванием – ангиосаркомой, описанной в 1872 г. Морисом Капоши. Все заболевшие оказались гомосексуалистами. Саркома Капоши протекала злокачественно, большая часть больных умерла в течение 20 мес. Весной 1981 г. врачи Лос-Анджелеса обнаружили еще одну категорию больных, также гомосексуалистов, с тяжелой

пневмоцистной пневмонией. Характерным синдромом у этих групп больных явилась генерализованная лимфаденопатия. Р. Галло и соавт. (США) и Л. Монтанье и соавт. (Франция) установлено, что возбудителем нового необычного заболевания является ретровирус. В 1986 г. принятное обозначение «HTLV III, или вирус, ассоциированный с лимфаденопатией (LAV)», комитетом по таксономии вирусов было заменено на современное название «вирус иммунодефицита человека» (ВИЧ) [1]. В 1987 г.

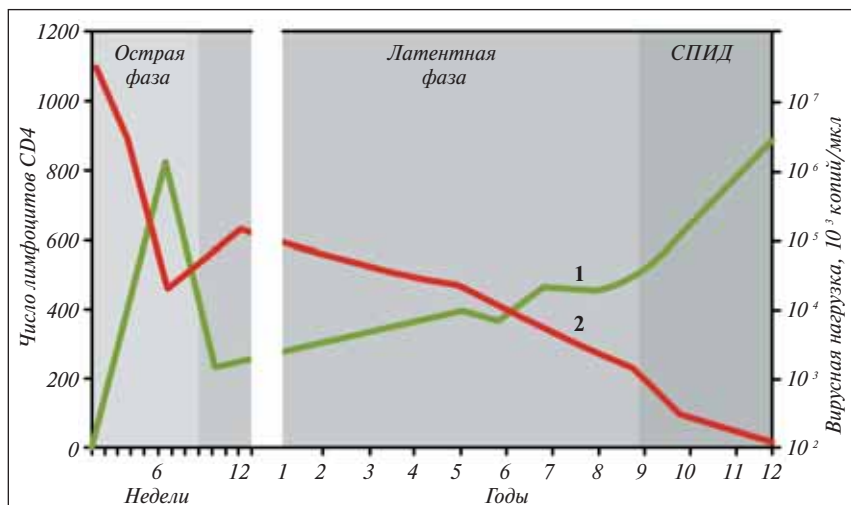


Рис. 1. Естественное течение ВИЧ-инфекции  
1 – число лимфоцитов CD4, 2 – вирусная нагрузка

было официально объявлено о регистрации первого случая СПИДа у гражданина СССР. Им оказался мужчина-гомосексуалист, долгое время работавший военным переводчиком в одной из африканских стран [2].

#### Биология, структура, эпидемиология ВИЧ

ВИЧ – РНК-вирус иммунодефицита человека из семейства лентивирусов. Наиболее изучены типы ВИЧ-1 (открыт в 1983 г.) и ВИЧ-2 (открыт в 1986 г.). В 1990 г. был описан ВИЧ-3. Вирион представляет собой ядро, включающее геном, содержащий две нити РНК и ферменты: обратную транскриптазу, интегразу, протеазу. Ядро окружено оболочкой – капсидом, который включает белок p24. Наружная мембрана капсида представлена суперкапсидом, на ней имеется гликопротеин gp120, обуславливающий прикрепление вируса к лимфоцитам CD4.

ВИЧ нестоеек во внешней среде, инактивируется при нагревании до 56°С в течение 30 мин, при кипячении погибает через 3 мин. В препаратах и компонентах крови сохраняется при минусовой температуре до года. ВИЧ устойчив к ультрафиолетовым лучам, но быстро погибает под действием дезинфицирующих средств.

ВИЧ – антропоноз с парентеральным, контактным механизмами передачи. Вертикальная передача возбудителя от матери к плоду происходит в процессе родов. Источником инфекции является инфицированный человек, находящийся на любой стадии заболевания, даже без клинических признаков болезни. Эпидемиология ВИЧ аналогична эпидемиологии вирусных гепатитов В и С, которыми инфицировано около 80% больных СПИДом. ВИЧ проникает от инфицированного человека здоровому через кровь. В западных странах основное число впервые инфицированных вначале составляли лица, практикующие частные гомосексуальные контакты (промискуитет). Постепенно выяснилось, что передача вируса происходит и от наркомана к наркоману при использовании одного шприца. В России основным путем инфицирования ВИЧ является именно шприцевой.

По данным В.В. Покровского и соавт. [1], с 1987 по 2002 г. зарегистрировано 228 708 случаев ВИЧ-инфекции, из них на долю гомосексуальных контактов приходится 0,4% и на долю внутренних заражений при использовании психотропных средств – 52%.

По данным Национальной программы профилактики СПИДа в США (UNAIDS), с начала 1980-х годов по декабрь 2005 г. в мире зарегистрировано около 50 млн ВИЧ-инфицированных, включая 1 млн из России [3, 4]. Всего от ВИЧ-инфекции умерли 22 млн человек. По данным Московского городского центра СПИД (МГЦ СПИД), количество ВИЧ-инфицированных в России составило 230 тыс. человек, в Москве – 23 тыс. человек. По прогнозам, в 2006 г. количество ВИЧ-больных в Москве должно было достигнуть 40 тыс. человек [3].

#### Патогенез ВИЧ/СПИД

Главная мишень ВИЧ – лимфоциты CD4, макрофаги, дендритные клетки. С помощью гликопротеина оболочки gp120 вирус фиксируется на мембране клетки. Встраивание вируса в геном клетки хозяина происходит в виде прорицкой ДНК, на матрице которой под действием фермента обратной транскриптазы происходит синтез вирусной РНК – это ключевой момент в репликации ВИЧ. Резервуаром вируса кроме лимфоцитов CD4 служат фагоцитирующие макрофаги, дендритные клетки kostного мозга, кожи, слизистых оболочек, лимфоузлов, клеток микроглии. В лимфоидной ткани доля клеток, содержащих прорицкую ДНК, в 5–10 раз выше, чем среди циркулирующих мононуклеаров крови, а репликация ВИЧ в лимфоидной ткани на 1–2 порядка выше, чем в крови. Обнаружение прорицкой ДНК ВИЧ служит маркером инфицирования при неопределенной РНК ВИЧ в крови в случае эффективности противоретровирусной терапии.

Инфицированные ВИЧ лимфоциты CD4 теряют способность к иммунной защите против бактерий, вирусов, грибов, простейших, опухолей. Развиваются оппортунистические инфекции, в первую очередь туберкулез, и повышается риск развития злокачественных опухолей – саркомы Капоши и лимфом [5].

#### Естественное течение ВИЧ-инфекции

Острая лихорадочная фаза, или «первичная» ВИЧ-инфекция – период от заражения ВИЧ до появления антител (рис. 1). Клиническая картина характеризуется проявлениями острой вирусной инфекции, «гриппа», ангины с артритами и лимфаденопатией (ЛАП). В анализе периферической крови может выявляться картина, близкая к таковой при инфекционном мононуклеозе. Аналогичная картина может быть при инфицировании вирусом простого герпеса, цитомегаловирусом и токсоплазмой. В это время, от 2 нед до 6 мес, в крови инфицированного появляются антитела к ВИЧ, выявляемые иммуноферментным методом (ИФА). Этот феномен обозначается как «сероконверсия». Число копий вирусной РНК (вирусная нагрузка) в крови нарастает, достигая нескольких сотен тысяч и более в 1 мкл крови. ЛАП гистологически демонстрирует гиперплазию фолликулов лимфоузла с характерной последующей инволюцией – «реактивная лимфаденопатия» [6].

Около 15% ВИЧ-инфицированных страдают умеренной тромбоцитопенией (ИТП) с разной степенью кровоточивости, в большинстве случаев минимальной. Обычно ИТП протекает не тяжело и исчезает на фоне высокоактивной антиретровирусной терапии (ВААРТ) без применения кортикостероидных гормонов и внутривенного человеческого иммуноглобулина.

За острой фазой, продолжающейся около 6 мес, следует вторая, «латентная фаза» ВИЧ-инфекции, длившаяся несколько лет. Количество лимфоцитов CD4 с нормального уровня 1000–1400 в 1 мкл снижается до сотен. При пороговом уровне 200 клеток/мкл вследствие глубокого дефицита клеток CD4 развиваются заболевания, определяющие СПИД. По данным Американского общества по лечению ВИЧ-инфекции, уровень лимфоцитов CD4 350 клеток/мкл даже при отсутствии клинических признаков болезни требует назначения ВААРТ. Ранее, до 2005 г., считалось, что лечение следует начинать при содержании лимфоцитов CD4 200 клеток/мкл [7].

#### Методы определения ВИЧ-инфекции

Диагностика ВИЧ-инфекции складывается из следующих показателей: наличие антител к ВИЧ (ИФА), наличие антител к конкретным антигенам вируса (иммуноблот-анализ), обычно p24, количество копий РНК в крови, абсолютное содержание клеток CD4 в 1 мкл крови. Антитела к ВИЧ появляются в тече-

Таблица 1. Антиретровирусные препараты

Торговое название	Распространенное сокращение	Международное название
<b>Нуклеозидные и нуклеотидные ингибиторы обратной транскриптазы</b>		
Комбивир	CBV	Зидовудин + ламивудин
Эмтрива	FTC	Эмтрицитабин
Эпивир	3TC	Ламивудин
Хивид	ddC	
Кивекса		Ламивудин + абакавир
Петровир	AZT	Зидовудин
Тризивир	TZV	Зидовудин + ламивудин + абакавир
Трувада		Эмтрицитабин + тенофовир
Видекс	ddl	Диданозин
Вирид	TDF	Тенофовир
Зерит	d4T	Ставудин
Зиаген	ABC	Абакавир
<b>Ненуклеозидные ингибиторы обратной транскриптазы</b>		
Рескриптор	DLV	Делавирдин
Сустива	EFV	Эфавиренз
Вирамун	NVP	Невирапин
<b>Ингибиторы протеазы</b>		
Аненераза	APV	Ампренавир
Криксиван	IDV	Индинарив
Фортоваза	SQV-FTV	Саквинавир-МЖК
Инвираза	SQV-INV	Саквинавир-ТЖК
Калетра	LPV	Лопинавир/ритонавир
Лексива/тельзир	FPV	Фосампренавир
Норвир	RTV	Ритонавир
Реатаз	ATV	Атазанавир
Вираспект	NFT	Нелфинавир
<b>Ингибиторы слияния</b>		
Фузеон	T-20	Энфувиртид

ние 3 мес после инфицирования у 90–95% пациентов, через 6 мес – у 5–9%, в более поздние сроки (до года) – у 0,5–1% [8]. ИФА является скрининговым методом исследования. Прямым методом определения РНК ВИЧ в биологических жидкостях является полимеразная цепная реакция (ПЦР). ПЦР способна выявить генетический материал вируса в инкубационном и раннем клиническом периодах, когда антител еще нет. Провирусная ДНК ВИЧ определяется ПЦР в мононуклеарах периферической крови в тех случаях успешной антиретровирусной терапии, когда количество РНК вируса в сыворотке крови ниже уровня чувствительности ПЦР для РНК, обычно это 400 копий вирусной РНК в 1 мкл крови.

зацияй. Подавляющее большинство среди них составляют В-клеточные клинико-морфологические формы. ВИЧ, являющийся этиологическим фактором СПИДа, прямо не участвует в опухолевой трансформации лимфоидных клеток, нуклеотидные последовательности этого вируса не были обнаружены в составе генома клеток лимфом. Среди патогенетических механизмов лимфомогенеза при СПИДе наиболее существенными являются хроническая антигенная стимуляция, нарушения цитокиновой регуляции и инфекция герпес-вирусами (вирус Эпштейна – Барр, вирус саркомы Капоши). Риск развития лимфом у ВИЧ-инфицированных увеличивается по мере снижения количества лимфоцитов CD4 в крови.

### Антиретровирусная терапия

Термин ВААРТ подразумевает поэтапное применение нескольких противовирусных препаратов, действующих на разные стадии жизненного цикла вируса. Перечень антиретровирусных препаратов представлен в табл. 1 [9].

С 1994–1998 гг. к настоящему времени заболеваемость СПИДом в Европе сократилась более чем в 10 раз: с 30,75 до 2,5%. Благодаря ВААРТ криптоспоридиоз и саркома Капоши излечиваются полностью, удается справиться с прогрессирующими мультифокальными лейкоэнцефалопатиями, отпадает потребность в профилактике цитомегаловирусной инфекции. Без ВААРТ СПИД развивается в среднем через 5–7 лет после инфицирования, с ВААРТ – через 10–12 лет. Согласно рекомендациям Американского совета по ВААРТ и СПИДу (2006), ВААРТ необходимо начинать при уровне лимфоцитов CD4 350 клеток/мкл даже при отсутствии клиники СПИДа. Каждый из этих препаратов может вызывать изменения показателей кроветворения и периферической крови. Мы дважды наблюдали глубокую анемию с неэффективным эритропоэзом, при которой требовалась трансфузии эритромассы. Анемия разрешилась после изменения состава препаратов ВААРТ [8]. Применение винбластина на фоне таких антиретровирусных препаратов, как лопинавир и ритонавир, может приводить к глубокому агранулоцитозу [9]. Раздельное применение этих препаратов безопасно. Названия и количество препаратов, входящих в ВААРТ, постоянно меняются при соблюдении принципа воздействия каждого нового препарата на определенную стадию жизненного цикла ВИЧ.

#### Определение СПИДа.

#### Заболевания, определяющие СПИД

СПИД – синдром приобретенного иммунодефицита человека, третья, последняя стадия ВИЧ-инфекции, характеризуется появлением комплекса известных заболеваний, которые определяются его характером и тяжестью: туберкулез, грибковые, вирусные и паразитарные инфекции, опухоли [10–12].

#### Лимфомы при СПИДе

##### Эпидемиология и патогенез

СПИД-ассоциированные лимфомы – гетерогенная группа лимфатических опухолей, различающихся гистологическим строением, первичной локали-

**Таблица 2.** Относительный риск развития лимфом у ВИЧ-инфицированных по сравнению с неинфицированными пациентами

Все лимфомы	165
Агрессивные лимфомы	348
Иммуноblastные	652
Лимфома Беркитта	261
Неклассифицируемые	580
Первичная лимфома ЦНС	>1000
Зрелоклеточные лимфомы	14
Плазмоцитома	5
Лимфогранулематоз	8

СПИД-ассоциированные лимфомы в большинстве случаев локализуются экстраподально: в органах желудочно-кишечного тракта, центральной нервной системе (особенно часто до широкого внедрения ВААРТ), печени и костном мозге. Первичная локализация в лимфатических узлах отмечена примерно у трети больных. Среди специфических особенностей СПИД-ассоциированных лимфом указывают на первичную локализацию в серозных полостях и стенках ротовой полости.

Какой-либо специальной морфологической классификации СПИД-ассоциированных лимфом нет. Изменение частоты возникновения некоторых видов лимфом среди ВИЧ-инфицированных необходимо учитывать в эпидемиологических исследованиях в регионах, где велика частота инфицирования.

По данным J. Goedert и соавт. [13], частота СПИД-ассоциированных лимфом с начала эпидемии СПИДа увеличилась более чем в 100 раз у ВИЧ-инфицированных в сравнении с общей популяцией (табл. 2). В целом по частоте в мире СПИД-ассоциированные лимфомы являются второй опухолью и составляют 3% в США и до 6% в Европе [14].

С введением ВААРТ значительно увеличилась продолжительность жизни ВИЧ-инфицированных, уменьшились заболеваемость и смертность от СПИД-ассоциированных инфекционных заболеваний, поэтому агрессивные лимфомы чаще становятся первым проявлением СПИДа. В настоящее время доля лимфом в структуре СПИД-ассоциированных заболеваний выросла с 4% в 1994 г. до 16% в 1998 г. Во Франции в 2000 г. причинами смерти 11% больных СПИДом явились лимфомы [15]. По данным отечественных авторов, причиной смерти 7% больных СПИДом стали злокачественные лимфомы. По частоте возникновения нозологических форм СПИД-ассоциированных лимфом распределение оказалось следующим: лимфома Беркитта (ЛБ), диффузная В-крупноклеточная лимфома (ДВКЛ), первичная лимфома ЦНС (ПЛЦНС), первичная лимфома полостей (PEL), плазмобластная лимфома полости рта, Т-лимфомы, лимфома Ходжкина (ЛХ). Имеется сообщение о В-ХЛЛ при ВИЧ-инфекции [16]. При ДВКЛ антигены вируса Эпштейна – Барр выявляются с помощью иммуногистохимического метода в биоптатах опухоли в 80% случаев, при лимфоме Беркитта – в 50%, при ПЛЦНС – в 100%. При ПЛЦНС обнаружение вируса Эпштейна – Барр методом ПЦР в ликворе считается диагностическим маркером [17]. HHV 8 (вирус простого герпеса человека 8, HHV8/KSHV- вирус человека, ассоциированный с саркомой Капоши) специфически связан с развитием PEL.

Связь количества клеток CD4 и возникновения ЛХ при СПИДе иная, чем при неходжкинских лимфомах. В исследовани-

ях R. Biggar и соавт., включивших 317 428 ВИЧ-инфицированных в 1996–2002 гг., выявлено 173 случая ЛХ, т.е. заболеваемость ЛХ составила 36,2 на 100 тыс. инфицированных в год. При уровне лимфоцитов CD4 150–199 клеток/мкл заболеваемость составила 53,7, при количестве лимфоцитов CD4 менее 50 клеток/мкл – 20,7 на 100 тыс. человек в год. Частота возникновения ЛХ ниже при тяжелой иммуносупрессии, и применение ВААРТ повышает риск развития ЛХ. Признанный авторитет по проблемам онкогематологии при ВИЧ/СПИДе A. Levine [18] объясняет этот феномен тем, что повышение уровня лимфоцитов CD4 на фоне проводимой ВААРТ возвращает способность клеток Рид – Штернберга к активации и пролиферации, утраченной при CD4-клеточном иммунодефиците. СПИД-ассоциированная ЛХ в большинстве случаев представлена смешанно-клеточным вариантом или вариантом лимфоидного исчожения классической ЛХ. Реже встречается нодуллярный склероз. ЛХ у этой группы больных почти всегда сочетается с инфекцией вируса Эпштейна – Барр [19].

Морфология и иммунофенотипирование СПИД-ассоциированных лимфом соответствуют морфологии лимфом у больных, не инфицированных ВИЧ. Основная масса СПИД-ассоциированных лимфом представлена агрессивными лимфомами. Цитогенетика определяется морфологическим вариантом лимфомы.

#### Клиническая картина

Клиническая картина определяется сочетанием лимфомы и других СПИД-ассоциированных заболеваний. СПИД-ассоциированные лимфомы отличаются более частым экстраподальным ростом с вовлечением желудочно-кишечного тракта, ЦНС, печени и костного мозга, полости рта, челюстей, сердца и перикарда, легких, кожи, яичек, молочных желез [20]. Периферические лимфоузлы вовлечены у одной трети пациентов. Большинство пациентов поступают в запущенных стадиях болезни: лихорадка, потеря массы тела, массивные очаги поражения, высокий уровень лактатдегидрогеназы. Изменения в анализе периферической крови и костного мозга схожи с изменениями, которые обнаруживаются у не инфицированных ВИЧ пациентов. Анемияносит сложный генез и отражает как прямое действие вируса на предшественники и строму костного мозга, неэффективный эритропоэз (анемия хронических заболеваний), так и аутоиммунный характер болезни [21]. ИТП наблюдается в 15% случаев в разных стадиях ВИЧ-инфекции и носит аутоиммунный характер. Изменения в лейкоцитарной формуле при лимфомах наблюдаются нечасто, в основном в случаях лейкемизированной ЛБ.

Кроме СПИД-ассоциированной лимфомы обычно наблюдалась сочетание нескольких заболеваний: в первую очередь туберкулез, бактериальные, вирусные и грибковые инфекции. Дифференциальная диагностика до гистологического диагноза проводится в первую очередь с туберкулезом. Необходимо дифференцировать поражение лимфоузлов при метастазах солидных опухолей.

В последнее время в стадировании и констатации полностью ремиссии при лимфомах, включая СПИД-ассоциированные, используется позитронно-эмиссионная томография (ПЭТ) [22].

#### Лечение СПИД-ассоциированных лимфом

Зарубежный 20-летний опыт применения ВААРТ при ВИЧ-инфекции показал, что СПИД-ассоциированные лимфомы возникают на несколько лет позже и у меньшего числа ВИЧ-инфицированных [23]. Любое СПИД-ассоциированное заболевание лечится с обязательным включением ВААРТ, которая проводится одновременно с полихимиотерапией (ПХТ) или после нее в зависимости от индивидуальной переносимости препаратов [24].

В лечении СПИД-ассоциированных лимфом используются практически все схемы ПХТ, применяющиеся в лечении лимфом у неинфицированных больных. Использование ВААРТ и СНОР позволяет получать полные ремиссии в 30–40% случаев. При использовании СНОР в стандартных дозах у 199 больных ДВКЛ в эру до ВААРТ общая 3-летняя выживаемость составила 29%, при использовании ВААРТ – 49% [25]. Одновременное применение ВААРТ и СНОР не приводило к усилению

гематологической и печеночной токсичности, за исключением азидотимида, который может усиливать гранулоцитопению. После использования СНОР уровень лимфоцитов CD4 снижается до 50% и восстанавливается через 1 мес [26]. Рекомендуется профилактический прием таких препаратов, как бисептол, ацикловир, флюкостат. В случае инфекции *Mycobacterium avium* в состав противотуберкулезной терапии включают кларитромицин. Проводится контроль за активацией цитомегаловирусной, пневмоцистной и грибковой инфекций [27].

В лечении СПИД-ассоциированных лимфом используется стандартная схема СНОР (СНОР-21 или СНОР-14), иногда с добавлением ритуксимаба. Специально подчеркивается необходимость деконтаминации кишечника во время и в течение 3 мес после окончания ПХТ [28].

По рекомендации Британской ассоциации СПИД-специалистов (2002), пациентам со СПИД-ассоциированной лимфомой, не достигшим полной ремиссии в индукции, должна проводиться высокодозная терапия с трансплантацией аутологичных стволовых кроветворных клеток [29].

В исследовании, проведенном группой изучения лимфом Национального института рака (США), 21 больной агрессивными СПИД-ассоциированными лимфомами получал курсы ЕРОСН с ритуксимабом в дозе 375 мг/м<sup>2</sup> в 1-й и 5-й дни курса, всего 6 курсов. Несмотря на низкий исходный уровень клеток CD4 (100 в 1 мкл), общая выживаемость составила 57%, тогда как в аналогичной группе не получавших ритуксимаб — 16% [30, 31].

Перед введением ВААРТ в практику средняя выживаемость ВИЧ-инфицированных больных ДВКЛ и ЛБ составляла 6 мес. С введением ВААРТ этот показатель у больных с ЛБ при лечении СНОР-подобными курсами не изменился, в то время как при ДВКЛ приблизился к результатам лечения пациентов, не инфицированных ВИЧ [32]. По данным S. Lim и соавт. [33], при наблюдении 363 больных ДВКЛ и ЛБ в 1982–2003 гг. исходный уровень лимфоцитов CD4 при ДВКЛ до начала лечения был существенно ниже, чем у больных ЛБ, что отражает лучшие результаты лечения ЛБ.

При лечении 93 больных ДВКЛ и 35 больных ЛБ по протоколу R-CDE (ритуксимаб в сочетании с 4-суточным введением циклофосфана, доксорубицина, этопозида) с одновременно проводимой ВААРТ общая выживаемость составила 76% [34]. Введение ВААРТ улучшает соматический статус пациентов, тем самым уменьшая токсичность цитостатиков, при этом терапия ЛБ должна быть более жесткой по сравнению с терапией ДВКЛ.

E. Wang и соавт. [35] сообщили результаты лечения 14 больных ЛБ, у 88% которых диагностирована IV стадия заболевания, по протоколу CODOX-M/IVAC: циклофосфан, доксорубицин, высокие дозы метотрексата и ifosfамида, этопозид и высокие дозы цитозара. 63% больных достигли полной ремиссии, 2-летняя безрецидивная выживаемость составила 60%. Переносимость препаратов не отличалась от группы не инфицированных ВИЧ пациентов.

По данным A. Oriol и соавт. [36], частота полных ремиссий у больных СПИД-ассоциированной ЛБ составила 71%, у неинфицированных — 77%, 2-летняя общая выживаемость в обеих группах — 51%. Единственным неблагоприятным прогностическим фактором в обеих группах был возраст старше 60 лет. Подчеркивается, что из препаратов ВААРТ, которые назначаются одновременно с ПХТ или последовательно, следует исключить зидовудин и ритонавир, поскольку эти препараты могут вызывать агранулоцитоз.

По данным групп по клиническим испытаниям, при использовании низкодозной схемы m-BACOD частота полных ремиссий составила 60% [37]. При проведении 6 курсов ЕРОСН уровень полных ответов составил 75% [38].

Для лечения рефрактерных и рецидивных СПИД-ассоциированных лимфом используются протоколы DHAP, ESHAP; ремиссии достигаются у 40% пациентов [39].

Принципиальная возможность излечения ЛБ в запущенных стадиях, включая лейкемический вариант лимфомы, пока-

зана в работе A. Oriol и соавт. [36]. С 1997 по 2000 г. лечились 53 больных ЛБ и ОЛЛ L3, средний возраст 53 года (15–74 лет), из них ВИЧ-инфицированных — 14. Среднее содержание CD4 — 420 клеток/мкл, средняя ВН — 400 тыс. копий в мкл. Половина больных СПИДом получала ВААРТ до начала ПХТ, остальные начали принимать ВААРТ во время первого курса ПХТ. Все больные получили 8 курсов А-В по германскому протоколу GMALL (B-ALL-05/93). Общая выживаемость составила 51% для всех пациентов без достоверных различий между группами неинфицированных и инфицированных. 2-летняя безрецидивная выживаемость 40 пациентов составила 60%, также без различий между группами. Единственным неблагоприятным фактором в обеих группах был возраст старше 60 лет.

При стандартной ПХТ СПИД-ассоциированной ЛХ без ВААРТ общая выживаемость составляет 1–2 года. Как правило, адекватная ПХТ дает полные ремиссии, но 2-летняя выживаемость обусловлена прогрессией других СПИД-ассоциированных заболеваний. На фоне ВААРТ результаты лечения СПИД-ассоциированной ЛХ не отличаются от результатов в общей популяции. Кроме ABVD используются протоколы BEACOPP и BEACOPP-14, Stanford V [40].

Таким образом, результаты лечения СПИД-ассоциированных лимфом принципиально не отличаются от результатов, полученных у не инфицированных ВИЧ пациентов.

За последние 25 лет за рубежом сформировался большой раздел медицины, посвященный общим и частным вопросам эпидемии ВИЧ — ВИЧ-медицина, однако опыт отечественных исследователей освещен лишь в единичных сообщениях. Тем не менее он позволяет ориентироваться в частоте и структуре интеркуррентных заболеваний при СПИДе и планировать объем предстоящей работы врачей разных специальностей, постоянно или эпизодически курирующих эту категорию населения. В сообщении О.А. Тишкевича и соавт. [41] представлен анализ результатов 537 аутопсий, выполненных с 1991 по 2003 г. 41,3% пациентов умерли в 2002 и 2003 гг. Первое место среди причин летальных исходов у ВИЧ-инфицированных в Москве с 1999 г. по настоящее время занимает туберкулез, частота его составила 34,5%. По данным секционных исследований, цитомегаловирусная инфекция — наиболее частое оппортунистическое заболевание у больных ВИЧ-инфекцией (15,8%). Были также диагностированы токсоплазмоз (8,2%), пневмоцистная пневмония (1,1%), криптококкоз (1,1%), кандидозная инфекция (0,7%), герпетический энцефалит (0,4%), мультифокальная лейкоэнцефалопатия (0,4%), саркома Капоши (6,9%), лимфомы (6,9%). Характерными для больных на поздних стадиях ВИЧ-инфекции явились генерализованные формы оппортунистических заболеваний, частое сочетание нескольких тяжелых инфекций. Последние 2 года характеризуются увеличением частоты случаев декомпенсированного цирроза печени как причины летального исхода у больных с начальными стадиями ВИЧ-инфекции. В абсолютном большинстве случаев циррозы были обусловлены прогрессированием гепатита С. Как мы показали ранее, диагностические биопсии лимфоузлов, проведенные у 80 первичных больных лимфаденопатиями при ВИЧ/СПИДЕ, определили следующие диагнозы: туберкулез у 33 (41%) больных, лимфомы — у 23 (29%), лимфогранулематоз — у 5 (6%), реактивная лимфаденопатия — у 15 (19%), герминогенные опухоли — у 3 (4%), саркоидоз — у 1 (1%) [42].

В настоящем сообщении мы приводим первый опыт диагностики и лечения ВИЧ-инфицированных, заболевших лимфомами, включая ЛХ, на стадии СПИДа.

#### Материалы и методы

Основная часть больных на первом этапе диагностики наблюдалась в отделении ВИЧ-инфекции городской клинической инфекционной больницы № 2 (КИБ №2) Москвы, меньшая часть больных консультирована амбулаторно по направлению врачей МГЦС и по направлению гематологов Москвы и других городов России.

Наличие ВИЧ-инфекции устанавливали в образце сыворотки крови методом ИФА с подтверждением положительного

результат в тесте иммуноблоттинга в специализированных лабораториях КИБ№2 и НИИ эпидемиологии РАМН. Кровь пациенты сдавали или прицельно, или при рутинном комплексном обследовании по поводу других заболеваний. После повторного подтверждения наличия анти-ВИЧ-антител в сыворотке крови у всех больных повторно определяли иммунный статус: количество клеток CD4 и CD8 в периферической крови и их соотношение, в норме принятто за 1. Одновременно исследовали плазму крови на вирусную нагрузку количественной ПЦР, определяющей количество РНК вируса в 1 мкл крови. Нижняя граница чувствительности метода – 400 копий в 1 мкл. Если в результате успеха ВААРТ содержание РНК ВИЧ составляет менее 400 копий/мкл и ответ считается как отрицательный, то истинное инфицирование ВИЧ определяется по количеству копий провиральной ДНК ВИЧ в мононуклеарах периферической крови методом ПЦР в лаборатории молекулярной биологии ГНЦ РАМН (зав. – канд. биол. наук А.Б. Судариков). Определение содержания клеток CD4 методом проточной цитофлюорометрии является диагностическим и про-

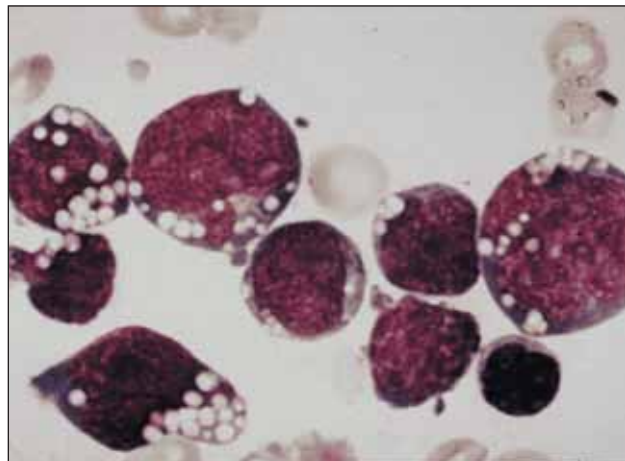


Рис. 2. СПИД-ассоциированная ЛБ

гностическим тестом, поскольку стадирование ВИЧ/СПИДа обязательно учитывает абсолютное количество клеток CD4 (в норме этот показатель равен 1000–1400 клеток/мкл).

Все больные поступали под наблюдение в развернутой стадии СПИДа. При отсутствии доступных для биопсии периферических лимфоузлов проведены оперативные вмешательства с целью удаления основной массы опухоли и получения биопсийного материала: спленэктомия, торакотомия с резекцией легкого, тиреоидэктомия, гистерэктомия и удаление яичников, гемиколэктомия, резекция части двенадцатиперстной кишки, орхофункулоэктомия.

Более половины больных не получали ВААРТ по разным причинам (самая частая из них – редкие посещения врача-инфекциониста), часть больных стали получать ВААРТ недавно. Поскольку ведение таких пациентов осуществляется гематологом совместно с врачом-СПИДологом, такие препараты поддерживающей терапии, как ростовые факторы, внутривенный донорский иммуноглобулин, противогрибковые, противовирусные, предоставлялись СПИД-центрами [44].

С 2002 по 2006 г. мы наблюдали 66 ВИЧ-инфицированных больных лимфомами в стадии СПИДа: 48 больных лимфомами и 18 больных ЛХ.

Из числа больных лимфомами мужчин было 35, женщин 13, соотношение М:Ж 2,6:1, средний возраст  $32,5 \pm 1,2$  года. 85% больных были инфицированы при использовании внутривенных психотропных средств, 15% – половым путем при гомосексуальных и гетеросексуальных контактах.

К гематологу ВИЧ-инфицированные направлялись в развернутой стадии органных поражений, в финальной III–IV стадии (СПИД). Клиническая картина неходжкинских лимфом почти всегда отражала поздние стадии (III–IV; рис. 2, 3). При лимфо-плазмоцитарной лимфоме этой локализации с распространением опухоли на мягкие ткани лицевого черепа внешний вид больного напоминал таковой ЛБ (рис. 4). Диагноз ВИЧ-инфекции обычно ставился намного раньше врачом-инфекционистом на основании полного набора диагностических тестов. В редких случаях диагноз СПИДа устанавливался впервые при поступлении больного в гематологический стационар. В этих случаях обязательным являлась консультация врача-СПИДолога, официально подтверждающая диагноз ВИЧ-инфекции на основании полного набора клинических и обязательных лабораторных тестов [43].

Коинфекция ВИЧ и гепатита С зарегистрирована у 60% больных, гепатитов В и С – у 25%, гепатита В – у 15%. Продолжительность инфицирования ВИЧ до развития лимфом по документам составила в среднем 3 года (2–10 лет), однако реальное время инфицирования (внутривенное введение психотропных препаратов и половые контакты), скорее всего, составило 5 лет (2–16 лет). У одного больного срок инфицирования, скорее всего, соответствовал сроку жизни в группе риска и составил 16 лет. Всем больным произведена биопсия периферического лимфоузла. При отсутствии такого узла и выявлении абдоминальной его локализации биопсии предшествовала лапаротомия. Морфологические варианты СПИД-ассоциированных лимфом представлены на рис. 5. Крупноклеточные лимфомы диагностированы при помощи стандартной световой микроскопии у 29 больных. Иммуногистохимическое исследование проведено у 19 больных и выявило их В-клеточную принадлежность (рис. 6). Диагноз ЛБ установлен морфологически и иммуногистохимически у 7 больных (рис. 7). У одного из них методом FISH выявлен диагностическая транслокация С-тус.

Исходный иммунный статус при первом обращении к гематологу: уровень лимфоцитов CD4 225 клеток/мкл (50–500 клеток/мкл), вирусная нагрузка – 38 тыс. копий РНК в 1 мкл (400–75 тыс. копий/мкл), у одного больного вирусная нагрузка составила 7,5 млн копий/мкл.

СНОР и СНОР-подобные курсы получили 26 больных. Последние включали СНОР 14, СНОР с даунозом, СНОРЕ, БЕМОР/СА, СНОД+Вр 16, СДЕ 4, R-СНОРЕ, ЕШАР, ДНАР, ИГЕВ. 8 больных получали блоковую терапию по протоколу

NHL-BFM-90: 3 блока А-В (6 курсов) с вынужденным снижением доз циклофосфана, метотрексата и цитозара после первых курсов на 20% из-за возникновения агранулоцитоза. Четверо из этих восьми пациентов получали блоковую терапию в сочетании с мабтерой. 4 больных получали по два блока А-С по модифицированной программе ЛБ-М-04 для лечения Беркиттподобных лимфом [44–46].

#### Схема 1. Программа NHL-BFM-90

##### Блок А:

- дексаметазон 20 мг внутривенно (в/в) 1–5-й дни;
- винクリстин 2 мг в/в 1-й день;
- ifosfamid 800 мг/м<sup>2</sup> в/в 1–5-й дни;
- метотрексат 1500 мг/м<sup>2</sup> в/в 1-й день;
- цитозар 150 мг/м<sup>2</sup> в/в 4–5-й дни;
- вепезид 100 мг/м<sup>2</sup> 4–5-й дни.

##### Блок В:

- дексаметазон 20 мг/м<sup>2</sup> в/в 1–5-й дни;
- доксорубицин 25 мг/м<sup>2</sup> в/в 1–2-й дни;
- винкристин 2 мг в/в 1-й день;
- циклофосфан 200 мг/м<sup>2</sup> 1–5-й дни;
- метотрексат 1500 мг/м<sup>2</sup> 1-й день.

#### Схема 2. Модифицированная программа ЛБ-М-04

##### Предфаза:

- циклофосфамид 200 мг/м<sup>2</sup> в/в 1–5-й дни;
- дексаметазон 20 мг/м<sup>2</sup> в/в 1–5-й дни.

##### Блок А:

- люмбальная пункция (ЛП) с введением трех препаратов – 1-й день;
- дексаметазон 20 мг/м<sup>2</sup> в/в 1–5-й дни;
- винкристин 2 мг/м<sup>2</sup> в/в 1-й день;
- ifosfamid 800 мг/м<sup>2</sup> в/в 1–5 дни;
- метотрексат 1500 мг/м<sup>2</sup> в/в 1-й день;
- цитозар 150 мг/м<sup>2</sup> в/в 4–5-й дни;
- вепезид 100 мг/м<sup>2</sup> в/в 4–5-й дни;
- доксорубицин 25 мг/м<sup>2</sup> в/в 1–2-й дни.

##### Блок С:

- ЛП с введением трех препаратов;
- дексаметазон 20 мг/м<sup>2</sup> в/в 1–5-й дни;
- вепезид 150 мг/м<sup>2</sup> в/в 3–5-й дни;
- метотрексат 1500 мг/м<sup>2</sup> в/в 1-й день;
- винblastин 10 мг/м<sup>2</sup> в/в 1-й день;
- цитозар 2 г/м<sup>2</sup> в/в 2–3-й дни.

Мы наблюдали 18 больных СПИД-ассоциированной ЛХ. Соотношение М:Ж 4,5:1, средний возраст 34,1±2,3 года, средняя продолжительность от первичного диагноза ВИЧ-инфекции до обращения с ЛХ – 2 года (1–5 лет), реальная продолжительность жизни в группе риска – 4 года (2–10 лет). Коинфекция ВИЧ и гепатита С выявлена у 50%, ВИЧ и гепатитов В и С – у 30%. 75% больных поступили в III–IV стадии болезни с большой массой опухоли нодальной и экстранодальной локализации, признаками сдавления верхней полой вены, выпотом в плевральных полостях и в полости перикарда (рис. 8, 9). Исходный иммунный статус: средний уровень лимфоцитов CD4 363 клетки/мкл (50–730 клеток/мкл), вирусная нагрузка 100 тыс. копий РНК в 1 мкл (14–250 тыс. копий/мкл). Гистологические варианты ЛХ: смешанно-клеточный – 80% (рис. 10), лимфоидное истощение – 15%, нодулярный склероз – 5%. Лечение проводилось 11 пациентам: ABVD±лучевая терапия (ЛТ) – восьми, BEACOPP-усиленный с последующей лучевой терапией – трем.

#### Результаты и обсуждение

На рис. 11 представлены общая и безрецидивная выживаемость 26 больных СПИД-ассоциированными лимфомами, получавших CHOP и CHOP-подобные курсы, и 12 больных, получавших блоковую терапию. 3-летняя общая вы-



Рис. 3. СПИД-ассоциированная В-ДКЛ



Рис. 4. СПИД-ассоциированная лимфоплазмоцитарная лимфома

живаемость составила 52% в группе больных, получавших CHOP и CHOP-подобные курсы, и 48% в группе получавших блоковую терапию. 3-летняя безрецидивная выживаемость составила 32 и 40% соответственно. Переносимость препаратов не отличалась от таковой у пациентов, не инфицированных ВИЧ. 5 пациентов продолжали получать ВААРТ во время всех курсов ПХТ. Агранулоцитоз возник у трети пациентов и при использовании ростовых факторов был коротким. Во время лечения умерли 9 человек. Причинами смерти явились прогрессирование лимфомы (7 больных), агранулоцитоз и инфекционные осложнения (2) в отсутствие ремиссии лимфомы.

После лечения средний уровень лимфоцитов CD4 составил 316 клеток/мкл (60–700 клеток/мкл), вирусная нагрузка – 3 тыс. копий РНК в 1 мкл (400–25 тыс. копий/мкл).

10 больных лимфомами умерли до начала лечения, из них у 6 диагноз лимфомы поставлен только на секции. 6 больных умер-

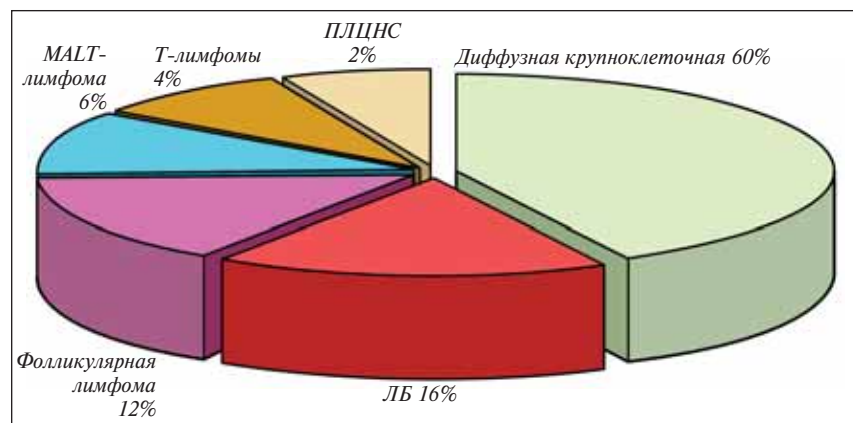


Рис. 5. Морфологические варианты лимфом у 48 больных СПИДом

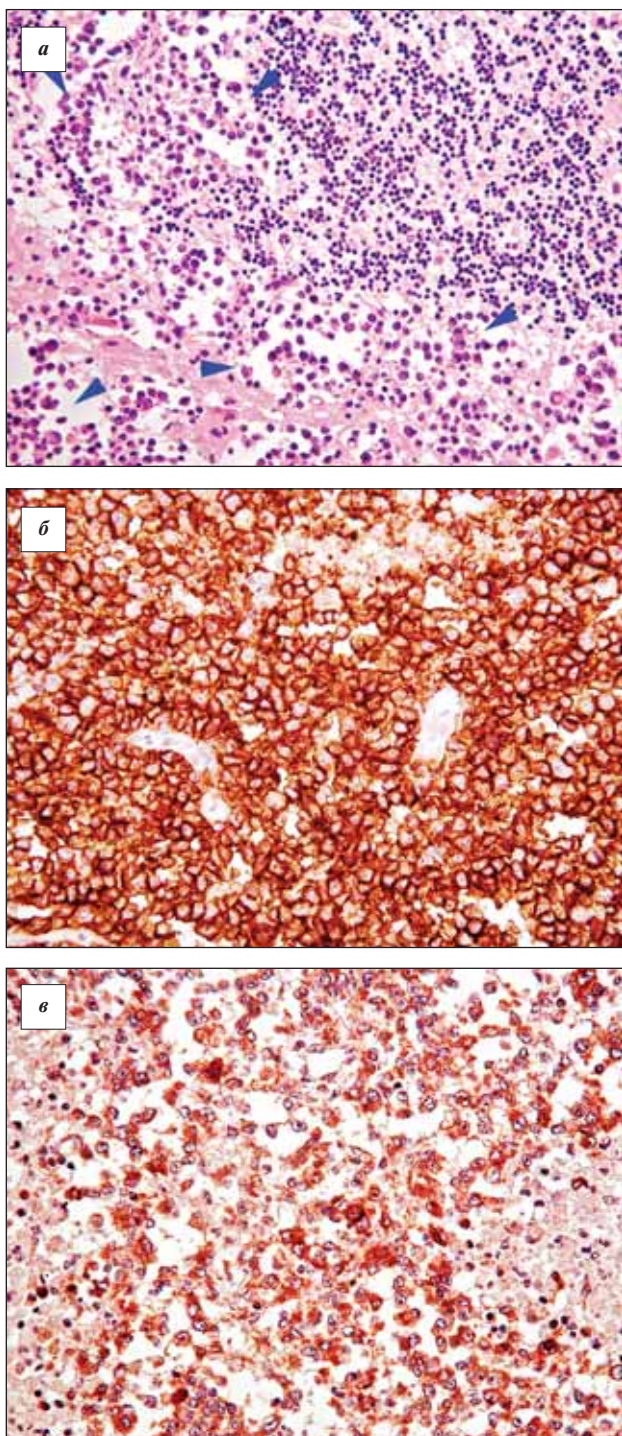


Рис. 6. В-ДКЛ головного мозга:

а — скопления крупных атипичных лимфоидных клеток (обозначены стрелками), справа вверху — клетки микроглии. Гематоксилин и эозин,  $\times 320$ ;

б — пан-В-клеточный антиген CD20 (L26) интенсивно

экспрессирован на мемbrane всех опухолевых клеток. ABC-DAB,  $\times 400$ ;

в — экспрессия латентного мембранных протеина (LMP-1) вируса Эпштейна — Барр (CS1-4) в атипичных лимфоидных клетках. ABC-DAB,  $\times 400$

ли во время курсов ПХТ: 3 — от прогрессии лимфомы и инфекционных осложнений; 3 — от агранулоцитоза и сепсиса. 11 больных продолжают лечение. Позднее обращение за медицинской помощью связано с особенностью поведения ВИЧ-больных. Больные обращаются к врачу только в критической ситуации: гипертен-

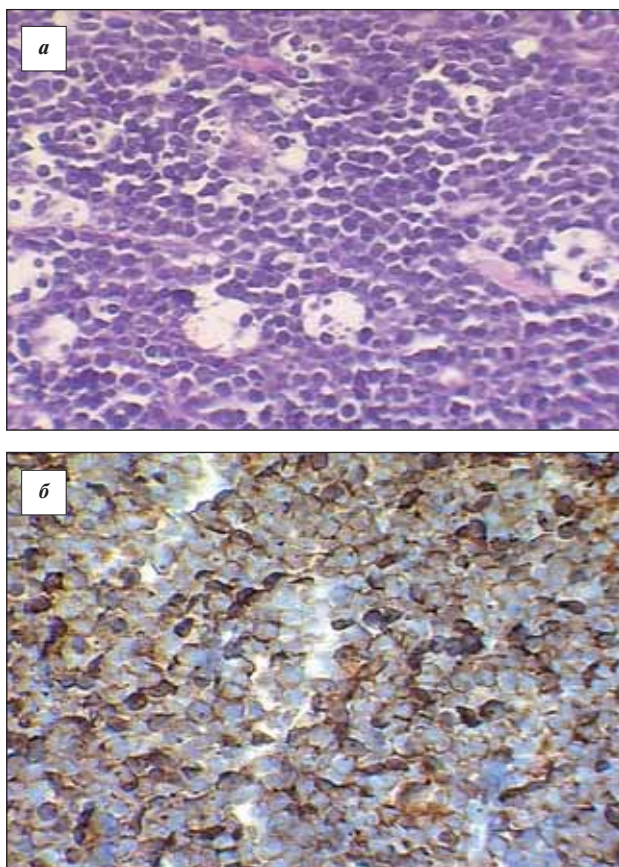


Рис. 7. Лимфома Беркитта,  $\times 400$

а — бластные клетки среднего размера с округло-овальными ядрами с насыщенным рисунком хроматина, выраженные морфологическими признаками апоптоза. Присутствует эффект «слипания» опухолевых клеток. Среди опухолевой популяции дискретно расположены макрофаги с фагоцитозом апоптотических телец. Гематоксилин и эозин;

б — экспрессия опухолевыми клетками антигена CD10 — маркера фолликулярного происхождения опухоли. ABC-DAB

мия, дыхательная недостаточность при пневмонии, массивная абдоминальная лимфаденопатия с кишечной непроходимостью, увеличение периферических лимфоузлов нередко с прорастанием в мягкие ткани и некрозом кожи, парезы, параличи и судорожный синдром при токсоплазмозе мозга, асцит при туберкулезном перитоните. Практически премортальное состояние больного при поступлении часто не оставляло времени на исследования.

Из 18 больных СПИД-ассоциированной ЛХ 7 умерли до начала лечения, 8 больных получили курсы ABVD $\pm$ ЛТ. Полные ремиссии достигнуты у 4 больных и сохраняются в течение 36 мес, 4 больных продолжают лечение. Из 3 больных, получивших BEACOPP-2 (усиленный) в сочетании с ЛТ, полные ремиссии достигнуты у двух и сохраняются в течение трех лет. После лечения средний уровень лимфоцитов CD4 составил 400 клеток/ $\mu\text{мл}$  (184–900 клеток/ $\mu\text{мл}$ ), вирусная нагрузка — 100 тыс. копий РНК в 1 мкл (400–435 тыс. копий/ $\mu\text{мл}$ ).

#### Заключение

Проблема ВИЧ-инфекции и увеличения количества больных СПИДом в нашей стране становится актуальной. СПИД характеризуется комплексом известных заболеваний, возникающих в условиях жесткого CD4-клеточного иммунодефицита. На долю лимфом, возникающих в третьей стадии ВИЧ-инфекции и определяющих СПИД, приходится, по данным разных авторов, от 3 до 18%. Это вторая по частоте после саркомы Капоши злокачественная опухоль, сочетанная с ВИЧ-инфекцией. Основную массу СПИД-ассоциированных заболеваний составляют туберкулез и другие оппортунистические инфекции.

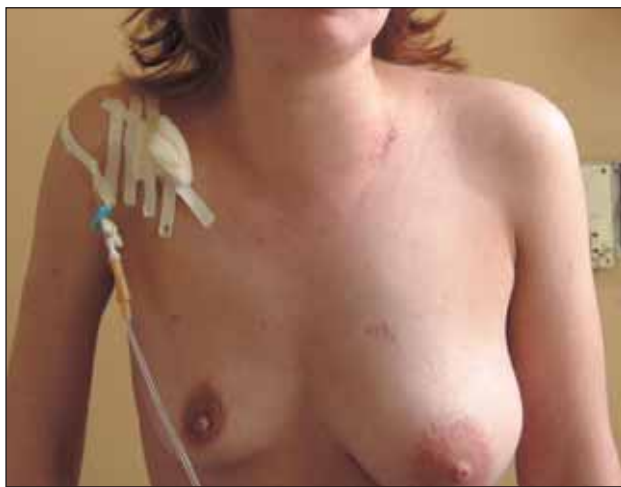
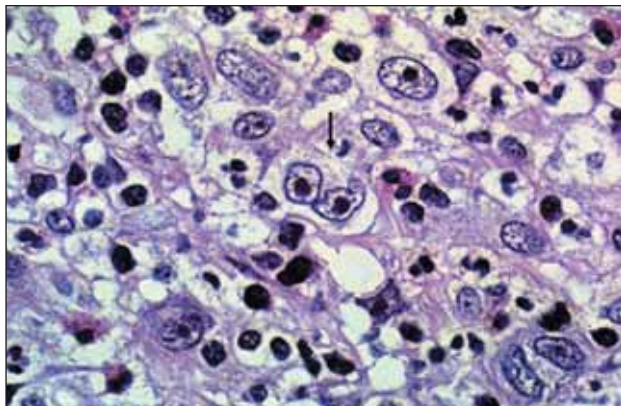


Рис. 8. СПИД-ассоциированная ЛХ

Разработка лекарственных препаратов с целью эрадикации вируса привела к созданию ВААРТ. В основе ее лежит воздействие на различные фазы жизненного цикла вируса. ВААРТ применяется на протяжении всей жизни больного, начиная с определенного количества уровня клеток CD4 в крови (по современным рекомендациям 200–350 клеток/мкл). Количество 100 клеток/мкл и менее расценивается как глубокий иммунодефицит, угрожающий жизни из-за инфекций и опухоли.

Естественный вопрос, почему ВААРТ не назначается сразу после инфицирования и доказательства репликации ВИЧ (как это происходит при всех инфекционных заболеваниях), постоянно дискутируется в литературе. По нашему мнению, только высокая стоимость ВААРТ ограничивает ее повсеместное внедрение сразу после установления факта инфицирования.

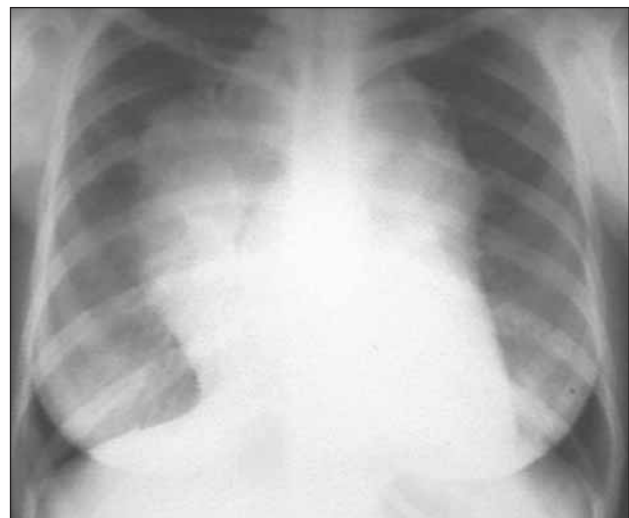


Рис. 9. СПИД-ассоциированная ЛХ. Прямая рентгенограмма грудной клетки.  
Массивное увеличение лимфоузлов средостения

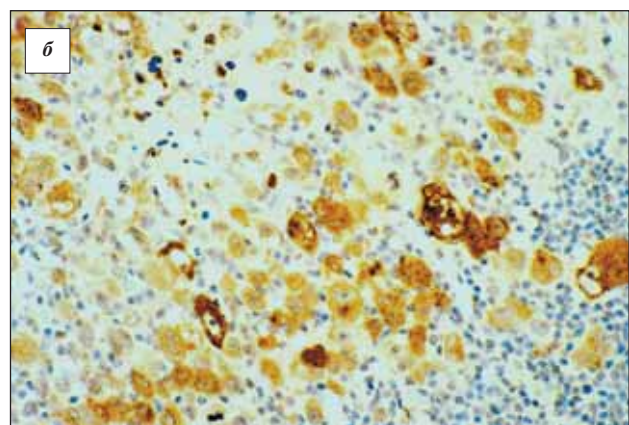
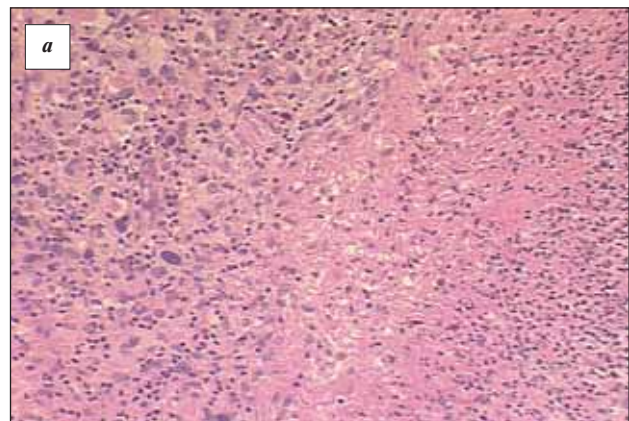


Рис. 10. Смешанно-клеточный вариант ЛХ (а), ассоциированный с инфекцией вируса Эпштейна — Барр (б),  $\times 400$ :  
а — обширная зона некроза, по периферии — атипичные опухолевые клетки. Гематоксилин и эозин;  
б — экспрессия опухолевыми клетками LMP-1 (CS1-4; цитоплазматическая реакция). ABC-DAB

ВААРТ радикальным образом изменила заболеваемость и смертность от СПИДа. До внедрения ВААРТ продолжительность жизни больных ВИЧ/СПИДом в подавляющем большинстве случаев ограничивалась 10 годами. На фоне ВААРТ продолжительность жизни, определяемая сочетанными со СПИДом

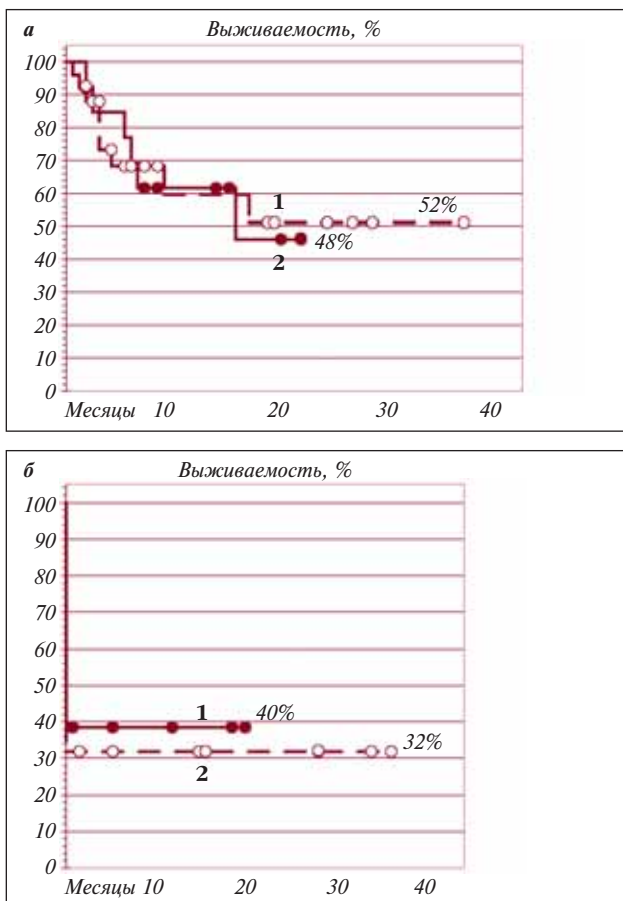


Рис. 11. 3-летняя общая (а) и безрецидивная (б) выживаемость 26 больных СПИД-ассоциированной лимфомой на CHOP-подобных протоколах (1) и 12 больных на блоковой терапии (2)

заболеваниями, увеличилась до 15–20 лет [47]. Частота и количество оппортунистических инфекций и опухолей на фоне ВААРТ снизились в несколько раз. Стало аксиомой использовать ВААРТ при бессимптомном течении ВИЧ-инфекции и снижении количества клеток CD4 до 350–200 в 1 мкл при любой вирусной нагрузке [48]. Появление симптомов заболеваний, сочетанных со СПИДом, требует назначения ВААРТ при любом уровне лимфоцитов CD4 и вирусной нагрузки [49].

Проблема ВИЧ/СПИДа перестала быть прерогативой инфекционистов и интегрируется в медицину в целом. Совместная курирование больного ВИЧ/СПИДом инфекционистом и представителем каждой медицинской специальности подсказана жизнью.

Мы приводим первые данные о собственном опыте работы гематолога и инфекционистов, который может стать основой для представителей врачей всех специальностей.

Низкие показатели эффективности лечения обусловлены несколькими факторами: позднее обращение за медицинской помощью в развернутой, генерализованной стадии лимфомы, отсутствие намерения принимать ВААРТ [50], наличие других заболеваний (гепатиты, оппортунистические инфекции), несоблюдение сроков повторных курсов ПХТ, высокая потребность в массивной поддерживающей терапии (противовирусная, противогрибковая, антибиотики широкого спектра, ростовые факторы). Тем не менее показана принципиальная возможность излечения этой категории больных (как это происходит у неинфицированных пациентов).

Выработан алгоритм тактики гематолога в общемедицинской сети, контролирующей эту категорию лиц, реально нуждающихся в диспансеризации: первичная диагностика ВИЧ-инфекции осуществляется во всех медицинских учреждениях страны, и пациенты направляются к инфекционисту-СПИДологу. ВИЧ-инфицированные пациенты подлежат амбулаторному обследованию с обязательным определением количества лимфоцитов CD4 и CD8 в периферической крови и вирусной нагрузки. Тактика ведения одновременно выявленного гепатита С и/или В определяется инфекционистом-гепатологом. СПИДолог устанавливает общую продолжительность ВИЧ-инфицирования, поскольку первый положительный анализ на ВИЧ нередко подтверждает многолетнее инфицирование, уточняет показания к проведению и набор препаратов ВААРТ. Пациент подлежит обследованию у всех специалистов, как это принято при диспансерных осмотрах. Такие осмотры в спокойном, латентном периоде ВИЧ-инфекции проводятся 1 раз в полгода. Через несколько лет возникают первые признаки известных заболеваний, которые ранее считались экзивизитными и встречались в основном у больных гемобластозами и в отделениях химиотерапии злокачественных опухолей: оппортунистические инфекции – цитомегаловирусная, пневмоцистная пневмония, токсоплазмоз ЦНС, кандидозы, аспергиллез, кокцидиоидомикоз и редкие виды грибковых инфекций, микоплазмоза. Данные о количестве лимфоцитов CD4 и вирусной нагрузке являются такими же обязательными для консультации гематолога, как и результаты анализа крови [26].

Ожидается разработка аналогичных алгоритмов ведения больных ВИЧ/СПИДом в каждой медицинской специальности – кардиологии, нефрологии, ревматологии, офтальмологии и др. Широкий прием ВИЧ-инфицированных, аналогичный приему носителей гепатитов С и В, в многопрофильные больницы в нашей стране, становится делом недалекого будущего.

#### Авторы приносят благодарность:

Л.Н. Готману, Н.И. Скидан, М.А. Цейтлинай, А.А. Шевелеву, М.И. Гарбузову, Н.Г. Литвиновой, В.В. Оськиной, Н.М. Мореновой, Л.Е. Павловой, Е.В. Петровой, М.В. Галиной, С.Н. Тройниковой, А.Б. Перегудовой, Е.В. Иванникову, И.В. Ефимову, В.С. Шавлохову, А.В. Гржимоловскому, Б.В. Зингерману, О.В. Мухортовой, И.В. Шурупову, Е.А. Барях, А.Б. Сударикову, М.В. Тумановой, Г.М. Смоленцевой, А.И. Романову, И.В. Ефимову, Б. Капланской, И.И. Зверевой, Л.Е. Пашину, И.С. Титову, Т.П. Бессарарабу.

## Л и т е р а т у р а

- Покровский В.В., Ермак Т.Н. , Беляева В.В. ВИЧ-инфекция. Клиника, диагностика, лечение. М., Гэотар-Мед; 2003.
- Покровский В.И., Покровский В.В., Потекаев С.Н. и др. Первый случай СПИД у гражданина СССР. Тер арх 1988;(7): 10–4.
- UNAIDS (1997b): HIV testing methods. UNAIDS Technical Update (UNAIDS Best Practice Collection: Technical Update). Geneva: UNAIDS, November 1997.
- Cock K.M., Weiss H.A. The global epidemiology of HIV/AIDS. Trop Med Int Health 2000;5(7):3–9.
- Mellors J.W., Munoz A.M., Giorgi J.V. et al. Plasma viral load and CD4+ lymphocytes as prognostic markers of HIV-1 infection. Ann Intern Med 1997;126:946–54.
- Lyles R.H., Munoz A., Yamashita T.E. et al. Natural history of HIV type 1 viremia after seroconversion and proximal to AIDS in a large cohort of homosexual men. J Infect Dis 2000;181:872–80.
- Collins K.L., Chen B.K., Walker B.D., Baltimore D. HIV-1 protein protects infected primary cells against killing by cytotoxic T lymphocytes. Nature 1998;391:397–401.
- Кравченко А.В. Патогенетические механизмы нарушений системы гемостаза у больных ВИЧ-инфекцией. Эпидемiol и инфекцион болезни 2000;(3):45–9.
- Moore R.D., Keruly J., Richman D.D. et al. Natural history of advanced HIV disease in patients treated with zidovudine. The Zidovudine Epidemiology Study Group. AIDS 1992;6:671–7.
- Katz M.H., Schwarcz S.K.,

- Kellogg T.A. et al. Impact of highly active antiretroviral treatment on HIV seroincidence among men who have sex with men: San Francisco. *Am J Public Health* 2002;92(3):388—94.
11. Hoffmann C., Rockstroh J.K., Kamps B.S. *HIV Medicine* 2006. Flying Publisher; 2006. p. 826.
12. Hoffman C., Kamps B.C. *HIV Medicine* 2005. Flying Publisher; 2005.
13. Goedert J.J., Cote T.R., Virgo P. et al. Spectrum of AIDS-associated malignant disorders. *Lancet* 1998;351:1833—9.
14. Clarke C.A., Glaser S.L. Epidemiological trends in HIV-associated lymphomas. *Curr Opin Oncol* 2001;13:354—9.
15. Straus D.J. Simplified prognostic indicators for AIDS-related lymphoma. *Blood* 2006;107(10):3819—20.
16. Little R.F., Gutierrez M., Jaffe E.S. et al. HIV-Associated non-Hodgkin lymphoma: incidence, presentation, and prognosis. *JAMA* 2001;285:1880—5.
17. Moore A.L., Youle M., Lipman M. et al. Raised viral load in patients with viral suppression on HAART: transient increase or treatment failure? *AIDS* 2002;16:615—8.
18. Levine A.M., Seneviratne L., Espina B.M. et al. Evolving characteristics of AIDS-related lymphoma. *Blood* 2000;96:4084—90.
19. Franceschi S., Dal Maso L., La Vecchia C. Advances in the epidemiology of HIV-associated non-Hodgkin's lymphoma and other lymphoid neoplasms. *Int J Cancer* 1999;83:481—5.
20. Aboulafia D.M., Pantanowitz L., Dezube B.J. AIDS-related non-Hodgkin lymphoma: still a problem in the era of HAART. *AIDS* 2004;14:605—17.
21. Matthews G.V., Bower M., Mandalia S. et al. Changes in AIDS-related lymphoma since the introduction of HAART. *Blood* 2000;96:2730—4.
22. Pauza C.D., Pyzalski R., Perlman S.B. et al. Positron emission tomography images of AIDS pathogenesis. *Conf. Adv. AIDS Vaccine*. 1997.
23. Antinori A., Cingolani A., Alba L. et al. Better response to chemotherapy and prolonged survival in AIDS-related lymphomas responding to HAART. *AIDS* 2001;15:1483—91.
24. Besson C., Goubar A., Gabarre J. et al. Changes in AIDS-related lymphoma since the era of HAART. *Blood* 2001;98:2339—44.
25. Hoffmann C., Chow K.U., Wolf E. et al. Strong impact of highly active anti-retroviral therapy on survival in patients with human immunodeficiency virus-associated Hodgkin's disease. *Br J Haematol* 2004;125(4):455—62.
26. Lim S.T., Karim R., Tulpule A. et al. Prognostic factors in HIV-related diffuse large-cell lymphoma: before versus after highly active antiretroviral therapy. *J Clin Oncol* 2005;23(33):8477—82.
27. Matthews G.V., Bower M., Mandalia S. et al. Changes in acquired immunodeficiency syndrome-related lymphoma since the introduction of highly active antiretroviral therapy. *Blood* 2000;96:2730—4.
28. Little R.F. AIDS-related non-Hodgkin's lymphoma: etiology, epidemiology, and impact of highly active anti-retroviral therapy. *Leuk Lymphoma* 2003;44(3):63—8.
29. Stebbing J., Gazzard B., Mandalia S. et al. Antiretroviral treatment regimens and immune parameters in the prevention of systemic AIDS-related non-Hodgkin's lymphoma. *J Clin Oncol* 2004;22(11):2177—83.
30. Spina M., Jaeger U., Sparana J.A. et al. Rituximab plus infusinal cyclophosphamide, doxorubicin, and etoposide in HIV-associated non-Hodgkin lymphoma: pooled results from 3 phase 2 trials. *Blood* 2005;105(5):123—8.
31. Kaplan L.D., Lee J.Y., Ambinder R.F. et al. Rituximab does not improve clinical outcome in a randomized phase 3 trial of CHOP with or without rituximab in patients with HIV-associated non-Hodgkin lymphoma: AIDS Malignancies Consortium Trial 010. *Blood* 2005;106:1538—43.
32. Gerard L., Galicier L., Maillard A. et al. Systemic non-Hodgkin lymphoma in HIV-infected patients with effective suppression of HIV replication: persistent occurrence but improved survival. *J Acquir Immune Defic Syndr* 2002;30(5):478—84.
33. Lim S.T., Karim R., Nathwani B.N. et al. AIDS-related Burkitt's lymphoma versus diffuse large cell lymphoma in the pre-highly active antiretroviral therapy (HAART) and HAART eras: significant differences in survival with standard chemotherapy. *J Clin Oncol* 2005;23:4430—8.
34. Glaser S.L., Clarke C.A., Gulley M.L. et al. Population-based patterns of human immunodeficiency virus-related Hodgkin lymphoma in the Great San Francisco Bay Area, 1988—1998. *Cancer* 2003;98(2):300—9.
35. Wang E.S., Straus D.J., Teruya-Feldstein J. Intensive chemotherapy with cyclophosphamide, doxorubicin, high-dose methotrexate/ifosfamide, etoposide, and high-dose cytarabine (CODOX-M/IVAC) for human immunodeficiency virus-associated Burkitt lymphoma. *Cancer* 2003;98:1196—205.
36. Oriol A., Ribera J.M., Esteve J. et al. Lack of influence of human immunodeficiency virus infection status in the response to therapy and survival of adult patients with mature B-cell lymphoma or leukemia. Results of the PETHEMA-LAL3/97 study. *Haematologica* 2003;88(4):445—53.
37. Kaplan L.D. Prognostic factors in the treatment of human immunodeficiency virus-associated non-Hodgkin's lymphoma: analysis of AIDS Clinical Trials Group protocol 142-low-dose versus standard-dose m-BACOD plus granulocyte-macrophage colony-stimulating factor. *National Institute of Allergy and Infectious Diseases. J Clin Oncol*. 1998;16:3601—6.
38. Mounier N., Spina M., Gabarre J. et al. AIDS-related non-Hodgkin lymphoma: final analysis of 485 patients treated with risk adapted intensive chemotherapy. *Blood* 2006;107(10):3832—40.
39. Levine A.M. AIDS-related lymphoma. *Semin Oncol Nurs* 2006;22(2):80—9.
40. Henrich M., Marett L., Chow K.U. et al. Highly active antiretroviral therapy (HAART) improves survival in HIV-associated Hodgkin's disease: results of a multicenter study. *Ann Oncol* 2006;17(6):914—9.
41. Тишкевич О.А., Шахгильдян В.И., Пархоменко Ю.Г. Структура летальных исходов и патологическая анатомия у больных ВИЧ-инфекцией в Москве. Эпидемиол и инфекцион болезни 2004;4:42—6.
42. Пивник А.В., Коровушкин В.Г., Пархоменко Ю.Г. и др. Дифференциальная диагностика лимфаденопатий при ВИЧ/СПИД. *Тер арх* 2006;78(4):28—32.
43. Navarro W.H., Kaplan L.D. AIDS-related lymphoproliferative disease. *Blood* 2006;107(1):13—20.
44. Барях Е.А., Звонков Е.Е., Кременецкая А.М. и др. Лечение Беркитт-подобной лимфомы у взрослых. *Тер арх* 2005;(7):53—8.
45. Барях Е.А., Кременецкая А.М., Кравченко С.К. и др. Новый короткий высокоинтенсивный протокол терапии лимфомы Беркитта у взрослых ЛБ-М-04: промежуточные результаты. *Гематол и трансфузiol* 2006;51(6):45—9.
46. Звонков Е.Е., Красильникова Б.Б., Махина В.А. и др. Первый опыт модифицированной программы NHL-BFM-90 у взрослых больных первичной диффузной В-клеточной лимфосаркомой желудка с неблагоприятным прогнозом. *Тер арх* 2006;(7):38—46.
47. Bower M., Gazzard B., Mandalia S. et al. A prognostic index for systemic AIDS-related non-Hodgkin lymphoma treated in the era of highly active antiretroviral therapy. *Ann Intern Med* 2005;143:265—73.
48. Boue F., Gabarre J., Gisselbrecht C. et al. Phase II trial of CHOP plus rituximab in patients with HIV-associated non-Hodgkin's lymphoma. *J Clin Oncol* 2006;24:4123—8.
49. Krishnan A., Molina A., Zaia J. et al. Durable remissions with autologous stem cell transplantation for high-risk HIV-associated lymphomas. *Blood* 2005;105(2):874—8.
50. Conti S., Masocco M., Pezzotti P. et al. Differential impact of combined anti-retroviral therapy on the survival of Italian patients with specific AIDS-defining illnesses. *J Acquir Immune Defic Syndr* 2000;25:451—8.